

บทที่ 4

ผลการวิจัย

จากการทดลองวัดอัตราการปล่อยก๊าซเรดอนจากวัสดุก่อสร้าง และนำผลที่ได้ไปจำลองในอาคารกรณีศึกษาประเภทตึกแฝง โดยโปรแกรมคำนวนพลศาสตร์ของไฟล สามารถนำเสนอผลการทดลอง และวิเคราะห์ผลการทดลองได้ ดังรายละเอียดในหัวข้อต่อไปนี้

4.1 การทดลองที่ 1: การวัดอัตราการปล่อยก๊าซเรดอนจากวัสดุทดสอบ

การทดลองที่ 1 เป็นการศึกษาอัตราการปล่อยก๊าซเรดอนจากวัสดุก่อสร้างประเภทคอนกรีตที่มีเดาลอยลิกไนต์ หรือฟอลสโพยิปชัมเป็นส่วนผสมในปริมาณต่าง ๆ ซึ่งในที่นี้กำหนดเป็นร้อยละโดยปริมาตร ได้แก่ ร้อยละ 20 30 40 50 60 และ 100 รวมทั้งวัสดุทดสอบประเภทคอนกรีตที่ไม่มีส่วนผสมของเดาลอย และฟอลสโพยิปชัม โดยวัสดุทดสอบแต่ละก้อนมีขนาดที่เท่ากัน คือ $20 \times 20 \times 5$ เซนติเมตร ถูกบรรจุไว้ในกล่องทดลองขนาด $40 \times 40 \times 40$ เซนติเมตร มีปริมาตรภายใน 0.0589 ลูกบาศก์เมตร จนเข้าสู่สมดุลกับมันตรังสี แล้วจึงได้ดำเนินการตรวจวัดปริมาณความเข้มข้นก๊าซเรดอนภายในกล่องแต่ละกล่อง ด้วยเครื่องตรวจวัดก๊าซเรดอน ATMOS 12 dpd จากนั้นจึงนำไปคำนวนหาอัตราการปล่อยก๊าซเรดอนของแต่ละวัสดุ โดยผลการทดลองที่ได้สามารถแสดงรายละเอียดได้ตามหัวข้อต่อไปนี้

4.1.1 ผลการตรวจวัดปริมาณก๊าซเรดอนภายในกล่องทดลองบรรจุวัสดุทดสอบ ที่ไม่มีส่วนผสมใด ๆ และค่าเรดอนพื้นหลัง

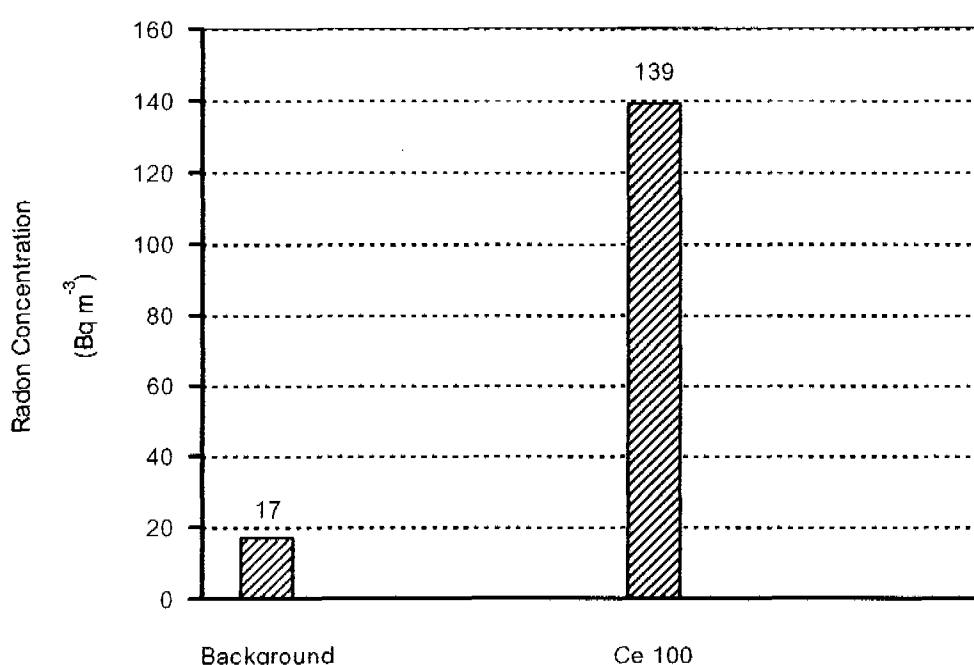
เนื่องจากในอากาศโดยทั่วไปมักมีก๊าซเรดอนระดับอยู่แล้วไม่มากก็น้อย ดังนั้นจึงต้องทำการตรวจความเข้มข้นของก๊าซเรดอนที่มีอยู่บริเวณสถานที่ทดลองด้วย เพื่อที่จะได้ทราบค่าที่แท้จริงของก๊าซเรดอนที่ปล่อยออกมายจากวัสดุทดสอบ โดยการนำค่าเรดอนพื้นหลังไปลบออกจากค่าความเข้มข้นที่ตรวจวัดได้จากกล่องทดลองใบอื่น ๆ นอกจากนี้ยังได้ตรวจวัดก๊าซเรดอนที่ปล่อยออกมายจากวัสดุทดสอบที่เป็นคอนกรีตล้วน ไม่มีการผสมเดาลอย หรือฟอลสโพยิปชัมลงไว เพื่อใช้เป็นเกณฑ์บ่งชี้ว่า หลังจากที่ผสมเดาลอย หรือฟอลสโพยิปชัมลงไว้แล้ว มีผลทำให้ก๊าซเรดอนที่ปล่อยออกมายจากวัสดุดังกล่าว เปลี่ยนแปลงไปอย่างไร ดังผลที่แสดงในตารางที่ 4.1

ตารางที่ 4.1
 ผลการตรวจวัดกําชีชเรดอนพื้นหลัง และกําชีชเรดอนที่ปล่อยออกมา^{ที่}
 จากวัสดุก่อสร้างประเภทคอนกรีต

ลำดับ	สัญลักษณ์	ปริมาณคอนกรีต (kg m ⁻³)	ปริมาณเดือย (kg m ⁻³)	ค่าเรดอนเฉลี่ย (Bq m ⁻³)
1	Background	-	-	17 ± 15
2	Ce 100	354.60	0	139 ± 21

หมายเหตุ: ผลการทดลองโดยผู้วิจัย เมื่อวันที่ 12 ม.ค. 2549

ภาพที่ 4.1
 ความเข้มข้นกําชีชเรดอนพื้นหลัง และกําชีชเรดอนที่ปล่อยออกมา^{ที่}
 จากวัสดุก่อสร้างประเภทคอนกรีตโดยเฉลี่ย



หมายเหตุ: ผลการทดลองโดยผู้วิจัย เมื่อวันที่ 12 ม.ค. 2549.

จากตารางที่ 4.1 และภาพที่ 4.1 พบว่าเมื่อตั้งกล่องทดลองทึ้งไว้บนครัวตามกำหนดเวลา สามารถวัดค่าความเข้มข้นเรดอนพื้นหลัง (background) โดยเฉลี่ยได้เท่ากับ $17 \pm 15 \text{ Bq m}^{-3}$ ซึ่ง ถือว่าอยู่ในระดับปกติของอากาศทั่วไป ส่วนค่าความเข้มข้นของก้าชเรดอนโดยเฉลี่ยที่วัดได้จาก กล่องทดลองที่บราจุวัสดุก่อสร้างปะเกทคอนกรีต พบว่ามีค่าเท่ากับ $139 \pm 21 \text{ Bq m}^{-3}$ เมื่อนำค่า เรดอนพื้นหลังมาลบออก ก็จะได้เป็นค่าความเข้มข้นของก้าชเรดอนที่ปล่อยออกมาจากวัสดุทดสอบ จริง หรือได้เท่ากับ 122 Bq m^{-3}

4.1.2 ผลการตรวจวัดปริมาณก้าชเรดอนภายในกล่องทดลองบราจุวัสดุทดสอบ ที่มีส่วนผสมของ เถ้าloyลิกไนต์ในปริมาณต่าง ๆ กัน

วัสดุทดสอบทำมาจากคอนกรีตผสมเถ้าloyลิกไนต์ในอัตราส่วนต่าง ๆ (ตารางที่ 3.1) โดยคิดเป็นร้อยละโดยปริมาตร ได้แก่ ร้อยละ 20 30 40 50 60 และ 100 ในขณะที่ส่วนผสมอื่น ได้แก่ ทราย หิน มีปริมาณคงที่ โดยหลังจากที่คอนกรีตแข็งตัวแล้ว ได้ปูมคอนกรีตทึ้งไว้อีก 14 วัน ก่อนบรรจุลงกล่องทดลอง

เมื่อครบกำหนดตรวจวัด จึงได้ตรวจวัดก้าชเรดอนภายในกล่องทดลองด้วยเครื่องตรวจ วัดก้าชเรดอน ATMOS 12 dpx ได้ผลดังตารางที่ 4.2

ตารางที่ 4.2

ผลการตรวจวัดก้าชเรดอนภายในกล่องทดลองบราจุวัสดุก่อสร้างปะเกทคอนกรีต ที่มีส่วนผสมของเถ้าloyลิกไนต์ในปริมาณต่าง ๆ กัน

ลำดับ	สัญลักษณ์	ปริมาณคอนกรีต (kg m ⁻³)	ปริมาณเถ้าloy (kg m ⁻³)	ค่าเรดอนเฉลี่ย (Bq m ⁻³)
1	FA 20	283.68	70.92	151 ± 15
2	FA 30	248.22	106.38	131 ± 19
3	FA 40	212.76	141.84	141 ± 18
4	FA 50	177.30	177.30	161 ± 16
5	FA 60	141.84	212.76	173 ± 16
6	FA 100	0	354.60	92 ± 16

หมายเหตุ: ผลการทดลองโดยผู้วิจัย เมื่อวันที่ 12 ม.ค. 2549.

จากตารางที่ 4.2 เมื่อค่าเรดอนพื้นหลังมาลดลงจากค่าเฉลี่ย ก็จะได้ค่าความเข้มข้นกํากษาเรดอนจริงที่ปล่อยออกมายากว่าสศุทธิ์สอบ (ตารางที่ 4.3)

ตารางที่ 4.3

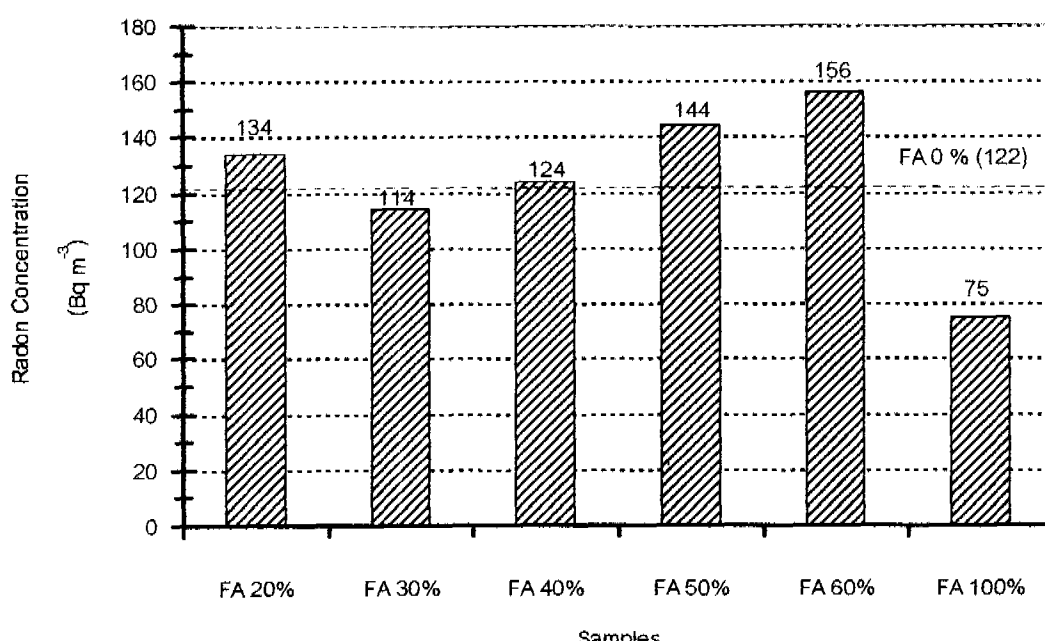
ค่าความเข้มข้นเรดอนเฉลี่ยจริงที่ปล่อยออกมายากว่าสศุทธิ์ก่อสร้างประเภทคอนกรีต
ที่มีส่วนผสมของถ้าล้อยลิกไนต์ในปริมาณต่าง ๆ กัน

วัสดุทดสอบ	FA 20	FA 30	FA 40	FA 50	FA 60	FA 100
ค่าเฉลี่ยที่วัดได้ (Bq m^{-3})	151 ± 15	131 ± 19	141 ± 18	161 ± 16	173 ± 16	92 ± 16
ค่าเฉลี่ยจริง (Bq m^{-3})	134 ± 0	114 ± 1	124 ± 3	144 ± 1	156 ± 1	75 ± 1

หมายเหตุ: ผลการทดสอบโดยผู้วิจัย เมื่อวันที่ 12 ม.ค. 2549.

ภาพที่ 4.2

ความเข้มข้นกํากษาเรดอนโดยเฉลี่ยที่ปล่อยออกมายากว่าสศุทธิ์ก่อสร้างประเภทคอนกรีต
ที่มีส่วนผสมของถ้าล้อยลิกไนต์ในปริมาณต่าง ๆ กัน



หมายเหตุ: ผลการทดสอบโดยผู้วิจัย เมื่อวันที่ 12 ม.ค. 2549.

จากผลการตรวจวัดความเข้มข้นกั๊ซเรดอนในวัสดุทดสอบค่อนกรีตที่ไม่ผสานเดาลอย และวัสดุทดสอบค่อนกรีตที่ผสานเดาลอย สามารถนำผลที่ได้ไปใช้คำนวณหาอัตราการปล่อยกั๊ซเรดอนจากวัสดุทดสอบดังกล่าวได้ตามสมการที่ 2.15 โดยพิจารณารวมกับข้อมูลในการทดลองดังตารางที่ 4.4

ตารางที่ 4.4

การคำนวณหาอัตราการปล่อยกั๊ซเรดอนของวัสดุทดสอบค่อนกรีต
ที่ผสาน และไม่ผสานเดาลอยลิกไนต์

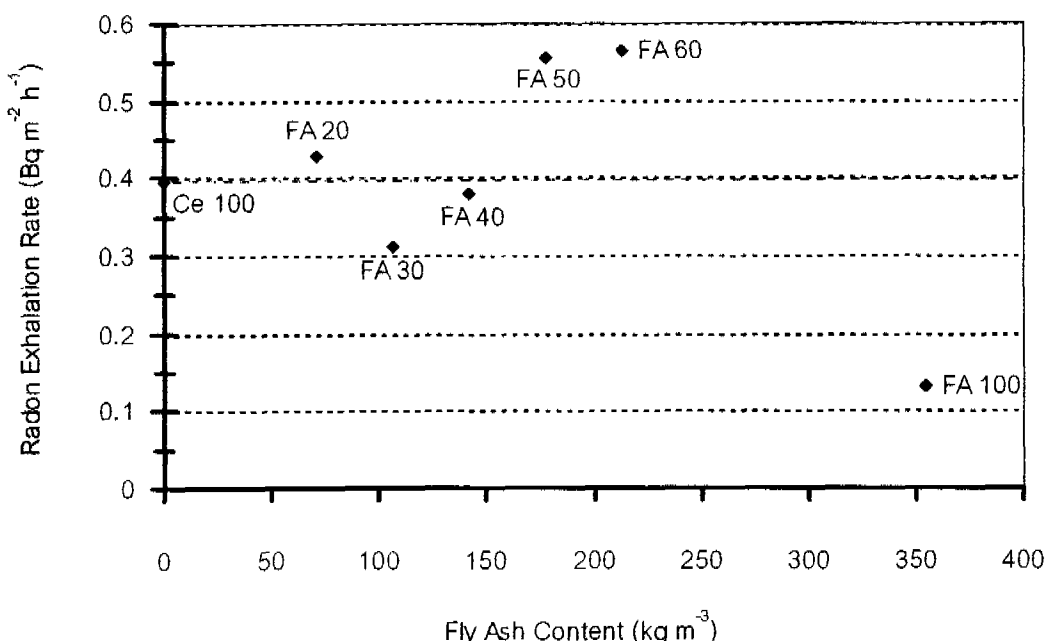
วัสดุ	ค่าเรดอนเฉลี่ยจริง (C) (Bq m ⁻³)	ระยะเวลา (t) (ชั่วโมง)	λ_t	อัตราการปล่อยกั๊ซเรดอน (Bq m ⁻² h ⁻¹)
FA 20	134 ± 0	818	6.184	0.429
FA 30	114 ± 1	814	6.153	0.312
FA 40	124 ± 3	795	6.010	0.380
FA 50	144 ± 1	743	5.617	0.556
FA 60	156 ± 1	839	6.342	0.564
FA 100	75 ± 1	839	6.342	0.130
Ce 100	122 ± 6	748	5.654	0.395

เมื่อ ค่าคงที่การสลายตัวของเรดอน (λ) = 7.56×10^{-3} ต่อชั่วโมง

หมายเหตุ: ผลการทดลองโดยผู้วิจัย เมื่อวันที่ 12 ม.ค. 2549.

ทั้งนี้ เมื่อพิจารณาถึงความสัมพันธ์ระหว่างอัตราการปล่อยกั๊ซเรดอนจากวัสดุทดสอบ กับปริมาณเดาลอยที่ผสานลงไป สามารถแสดงได้ดังภาพที่ 4.3

ภาพที่ 4.3
ความสัมพันธ์ระหว่างอัตราการปล่อยก๊าซเรดอนกับปริมาณถ่านหิน
ที่ผสมลงในวัสดุคอนกรีตทดสอบ



หมายเหตุ: ผลการทดลองโดยผู้วิจัย เมื่อวันที่ 12 ม.ค. 2549.

จากตารางที่ 4.4 ภาพที่ 4.2 และภาพที่ 4.3 สามารถอธิบายผลการทดลองได้ดังนี้

1. อัตราการปล่อยก๊าซเรดอนจากการทดสอบมีแนวโน้มเพิ่มขึ้นตามปริมาณถ่านหินที่เพิ่มขึ้น ยกเว้นในกรณีของ FA 20 ที่มีค่าแตกต่างออกไป โดยตั้งสมมติฐานในเบื้องต้นไว้ว่านาจะเกิดจากปัจจัยเรื่องความพรุน (porosity) ซึ่งสามารถตรวจสอบได้โดยการวัดค่าความพรุน (หัวข้อ 4.1.4) ของวัสดุทดสอบ แล้วเปรียบเทียบกับอัตราการปล่อยก๊าซเรดอนจากการทดสอบนั้น

2. สำหรับวัสดุคอนกรีตทดสอบที่ไม่มีการผสมถ่านหินไป (Ce 100) พบว่ามีอัตราการปล่อยก๊าซเรดอนเท่ากับ $0.395 \text{ Bq m}^{-2} \text{h}^{-1}$ มากกว่าวัสดุทดสอบที่มีแต่ถ่านหิน แต่ไม่ผสมคอนกรีตเลย (FA 100) ถึง 3 เท่า ซึ่งขัดกับสมมติฐานที่ตั้งไว้ในตอนต้น ทั้งนี้อาจเป็นไปได้ว่าแท้จริงแล้ว เก้า ล้อยาจมีการปล่อยก๊าซเรดอนออกมาก่อนเข้าห้องน้ำอย่างเมื่อเทียบกับคอนกรีต ดังนั้นเพื่อเป็นการยืนยัน สมมติฐานดังกล่าว จึงต้องทำการทดสอบอัตราการปล่อยก๊าซเรดอนโดยมวล (mass exhalation rate) และวัดปริมาณเรเดียมในวัสดุ (radium concentration) (หัวข้อ 4.1.4) ต่อไป

4.1.3 ผลการตรวจวัดปริมาณก๊าซเรตองภายในกล่องทดลองบรรจุวัสดุทดสอบ ที่มีส่วนผสมของฟอสฟอยปั๊มในปริมาณต่าง ๆ กัน

วัสดุทดสอบทำมาจากคอนกรีตผสมฟอสฟอยปั๊มในอัตราส่วนต่าง ๆ (ตารางที่ 3.1) โดยคิดเป็นร้อยละโดยปริมาตร ได้แก่ ร้อยละ 20 30 40 50 60 และ 100 ในขณะที่ส่วนผสมอื่นได้แก่ ทราย หิน มีปริมาณคงที่ โดยหลังจากที่ค่อนกรีตแข็งตัวแล้ว ได้บ่มคอนกรีตทั้งไว้อีก 14 วัน ก่อนบรรจุลงกล่องทดลอง

เมื่อครบกำหนดตรวจวัด จึงได้ตรวจวัดก๊าซเรตองภายในกล่องทดลองด้วยเครื่องตรวจวัดก๊าซเรตอกน ATMOS 12 dpx ได้ผลดังตารางที่ 4.5

ตารางที่ 4.5

ผลการตรวจวัดก๊าซเรตองภายในกล่องทดลองบรรจุวัสดุก่อสร้างประเภทคอนกรีตที่มีส่วนผสมของฟอสฟอยปั๊มในปริมาณต่าง ๆ กัน

ลำดับ	สัญลักษณ์	ปริมาณคอนกรีต (kg m ⁻³)	ปริมาณฟอสฟอยปั๊ม (kg m ⁻³)	ค่าเรตองเฉลี่ย (Bq m ⁻³)
1	PG 20	283.68	70.92	338 ± 27
2	PG 30	248.22	106.38	352 ± 26
3	PG 40	212.76	141.84	412 ± 28
4	PG 50	177.30	177.30	631 ± 33
5	PG 60	141.84	212.76	687 ± 34
6	PG 100	0	354.60	702 ± 33

หมายเหตุ: ผลการทดลองโดยผู้วิจัย เมื่อวันที่ 13 ม.ค. 2549.

จากตารางที่ 4.5 เมื่อค่าเรตองพื้นหลังมากขึ้นจากค่าเฉลี่ย ก็จะได้ความเข้มข้นก๊าซเรตองจริงที่ปล่อยออกมายากวัสดุทดสอบ (ตารางที่ 4.6)

ตารางที่ 4.6

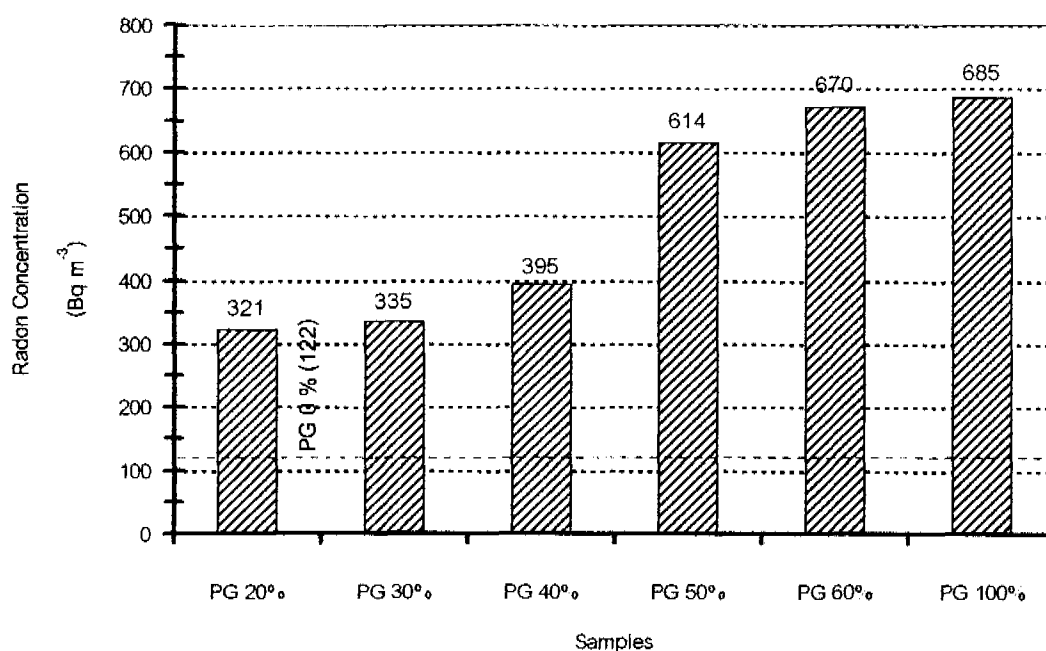
**ค่าความเข้มข้นเรดอนเฉลี่ยจริงที่ปล่อยออกมานอกจากวัสดุก่อสร้างประเภทคอนกรีต
ที่มีส่วนผสมของฟอสฟอยปั๊มในปริมาณต่าง ๆ กัน**

วัสดุทดสอบ	PG 20	PG 30	PG 40	PG 50	PG 60	PG 100
ค่าเฉลี่ยที่วัดได้ (Bq m^{-3})	338 ± 27	352 ± 26	412 ± 28	631 ± 33	687 ± 34	702 ± 33
ค่าเฉลี่ยจริง (Bq m^{-3})	321 ± 12	335 ± 11	395 ± 13	604 ± 18	670 ± 19	685 ± 18

หมายเหตุ: ผลการทดลองโดยผู้วิจัย เมื่อวันที่ 13 ม.ค. 2549.

ภาพที่ 4.4

**ความเข้มข้นกําชเรดอนโดยเฉลี่ยที่ปล่อยออกมานอกจากวัสดุก่อสร้างประเภทคอนกรีต
ที่มีส่วนผสมของฟอสฟอยปั๊มในปริมาณต่าง ๆ กัน**



หมายเหตุ: ผลการทดลองโดยผู้วิจัย เมื่อวันที่ 13 ม.ค. 2549.

จากการตรวจสอบความเข้มข้นกําชเรดอน ในวัสดุทดสอบคอนกรีตที่ผสมฟอสฟอยปั๊ม สามารถนำผลที่ได้ไปใช้คำนวนหาอัตราการปล่อยกําชเรดอนจากวัสดุทดสอบดังกล่าวได้ตาม สมการที่ 2.15 โดยพิจารณาร่วมกับข้อมูลในการทดลอง ดังตารางที่ 4.7

ตารางที่ 4.7
การคำนวณหาอัตราการปล่อยก๊าซเรดอนของวัสดุทดสอบกับคอนกรีต
ที่ผสมฟอสฟอยปั๊มในปริมาณต่าง ๆ

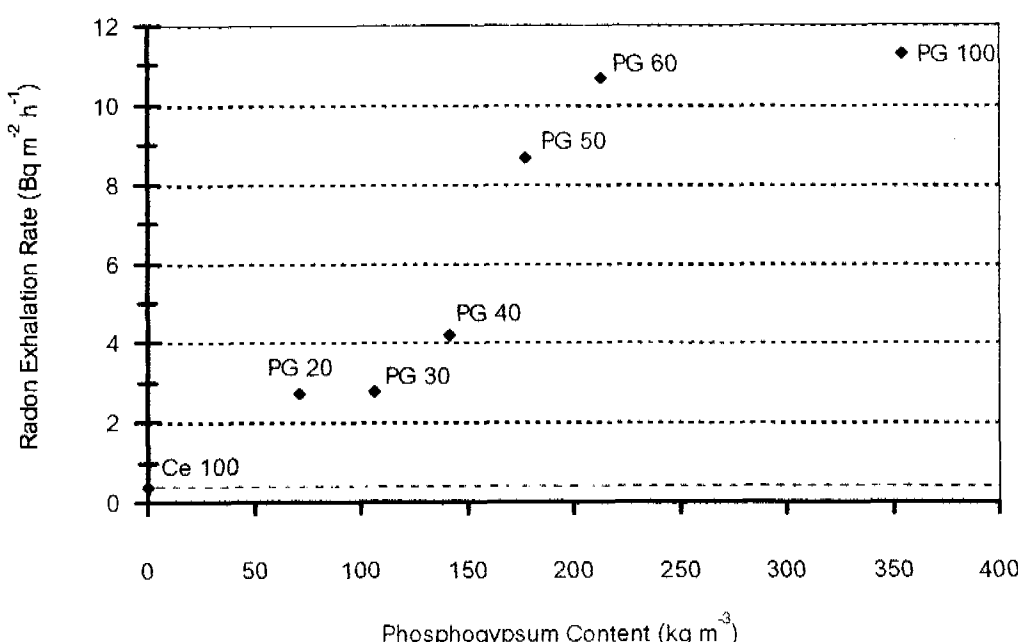
วัสดุ	ค่าเรดอนเฉลี่ยจริง (C) (Bq m ⁻³)	ระยะเวลา (t) (ชั่วโมง)	λ_t	อัตราการปล่อยก๊าซเรดอน (Bq m ⁻² h ⁻¹)
PG 20	321 ± 12	749	5.662	2.736
PG 30	335 ± 11	795	6.010	2.774
PG 40	395 ± 13	745	5.632	4.170
PG 50	604 ± 18	846	6.395	8.655
PG 60	670 ± 19	821	6.206	10.679
PG 100	685 ± 18	813	6.146	11.294

เมื่อ ค่าคงที่การถ่ายตัวของเรดอน (λ) = 7.56×10^{-3} ต่อชั่วโมง

หมายเหตุ: ผลการทดลองโดยผู้วิจัย เมื่อวันที่ 13 ม.ค. 2549.

ทั้งนี้เมื่อพิจารณาถึงความสัมพันธ์ระหว่างอัตราการปล่อยก๊าซเรดอนจากวัสดุทดสอบ กับปริมาณฟอสฟอยปั๊มที่ผสมลงไป สามารถแสดงได้ดังภาพที่ 4.5

ภาพที่ 4.5
ความสัมพันธ์ระหว่างอัตราการปล่อยก๊าซเรดอนกับปริมาณฟอสฟอยปั๊ม
ที่ผสมลงในวัสดุคอนกรีตทดสอบ



จากตารางที่ 4.7 ภาพที่ 4.4 และภาพที่ 4.5 สามารถอธิบายผลการทดลองได้ดังนี้

1. อัตราการปล่อยก๊าซเรดอนจากวัสดุทดสอบ มีแนวโน้มเพิ่มขึ้นตามปริมาณฟอลโซฟิปัตัมที่เพิ่มขึ้นอย่างเห็นได้ชัด แม้กระทั้ง PG 20 ซึ่งมีปริมาณฟอลโซฟิปัตัมผสมน้อยที่สุด ก็ยังมีอัตราการปล่อยก๊าซเรดอนมากกว่าค่าคงรัฐธรรมด้าถึง 7 เท่า

2. ลักษณะความสัมพันธ์ระหว่างอัตราการปล่อยก๊าซเรดอน กับปริมาณฟอลโซฟิปัตัมที่ผสมลงไประวัสดุทดสอบ คล้ายคลึงกับการเพิ่มแบบเอกซ์โพเนนเชียล (exponential) โดยการเพิ่มปริมาณฟอลโซฟิปัตัมในช่วงแรก ($50 - 150 \text{ kg m}^{-3}$) อัตราการปล่อยก๊าซเรดอนจากวัสดุทดสอบจะเพิ่มขึ้นทีละน้อย (ความชันน้อย) แต่เมื่อเพิ่มปริมาณขึ้นเรื่อยๆ ($150 - 230 \text{ kg m}^{-3}$) อัตราการปล่อยก๊าซเรดอนจากวัสดุทดสอบกลับเพิ่มขึ้นอย่างรวดเร็ว (ความชันมาก) แล้วจึงค่อยๆ ลดลงอีกครั้งหนึ่ง

4.1.4 ผลการตรวจสอบปัจจัยเกี่ยวนี้ของอีน ๆ ซึ่งอาจมีผลต่ออัตราการปล่อยก๊าซเรดอนจากวัสดุทดสอบในการทดลอง

ในการวัดอัตราการปล่อยก๊าซเรดอนจากวัสดุทดสอบนั้น มีปัจจัยมากมายที่ส่งอิทธิพลต่อความสามารถในการปล่อยก๊าซเรดอนจากวัสดุนั้น ๆ ซึ่งสามารถแบ่งได้ 2 ประเภท คือ ปัจจัยภายในอก ได้แก่ อุณหภูมิ ความชื้น ความดัน ปริมาณเรดอนในบรรยายกาศ เป็นต้น โดยปัจจัยภายนอกเหล่านี้ สามารถกำหนดเป็นตัวแปรควบคุมได้ และสามารถควบคุมได้ในห้องปฏิบัติการแต่ยังมีปัจจัยอีกประเภทหนึ่ง ซึ่งไม่สามารถควบคุมได้ หรือ ปัจจัยภายใน อันได้แก่ ความพิเศษ ปริมาณเรเดียมภายในวัสดุ เป็นต้น

ในการวิจัยนี้ ได้แบ่งการทดลองเพื่อตรวจสอบปัจจัยภายนอก ซึ่งอาจมีผลต่ออัตราการปล่อยก๊าซเรดอนจากวัสดุทดสอบ เป็น 3 การทดลอง ดังนี้

1. การตรวจสอบความพิเศษของวัสดุทดสอบ
2. การวัดอัตราการปล่อยก๊าซเรดอนโดยมวล
3. การวัดปริมาณเรเดียมจากการทดสอบ

โดยผลที่ได้จากการทดลอง จะถูกนำมาใช้พิจารณาร่วมกับผลการวัดอัตราการปล่อยก๊าซเรดอนจากวัสดุทดสอบ (หัวข้อ 4.1.1 หัวข้อ 4.1.2 และหัวข้อ 4.1.3) เพื่อหาข้อสรุปรวมที่เหมาะสมและสมเหตุสมผลมากที่สุด

1. การตรวจสอบความพรุนของวัสดุทดสอบ

จากผลการวัดอัตราการปล่อยก๊าซเรดอนจากวัสดุทดสอบที่ผ่านมาอยู่ในปริมาณต่าง ๆ กัน พบว่า ถึงแม้แนวโน้มอัตราการปล่อยก๊าซเรดอนจากวัสดุจะเพิ่มขึ้น เมื่อปริมาณเดินอยู่ที่ผ่านลงไปเพิ่มมากขึ้น แต่ก็มีวัสดุทดสอบบางส่วนที่ให้ผลต่างออกไป เช่น FA 20 ควรจะมีอัตราการปล่อยก๊าซเรดอนน้อยกว่าวัสดุทดสอบอื่น แต่กลับพบว่ามีอัตรามากกว่า FA 30 และ FA 40 ซึ่งตั้งสมมติฐานเบื้องต้นไว้ว่า สาเหตุน่าจะเกิดจากความพรุนภายในวัสดุที่ไม่เท่ากัน

ดังนั้น จึงได้ทำการทดลองตรวจสอบความพรุนของวัสดุโดยวิธีทดสอบที่ผ่านมาอยู่ (FA 20 FA 30 FA 40 FA 50 และ FA 60) และวัสดุทดสอบที่ไม่ผ่านมาอยู่ (Ce 100) โดยวิธีการแทนที่น้ำ (ดูรายละเอียดในบทที่ 2 หัวข้อ 2.2.2) ซึ่งมีวิธีการทดลองดังนี้

- 1) นำวัสดุที่จะทดสอบความพรุนไปแช่น้ำจนกระทั่งอิมตัว (ประมาณ 21 วัน)
- 2) เมื่อครบกำหนด นำวัสดุขึ้นมาชั่น้ำหนัก โดยน้ำหนักที่ได้จะเป็นน้ำหนักมวลเบิก (wet mass, m_{wet})
- 3) นำวัสดุทดสอบที่ชั่น้ำหนักมวลเบิกเสร็จแล้ว เข้าตู้อบ เพื่อบาียนให้น้ำระเหยออกจากวัสดุให้หมด โดยอบไว้ที่ความร้อน 85 องศาเซลเซียส เป็นเวลา 24 ชั่วโมง
- 4) หลังจากที่อบวัสดุทดสอบเสร็จแล้ว จึงนำออกมากชั่น้ำหนักอีกครั้ง โดยน้ำหนักที่ได้จะเป็นน้ำหนักมวลแห้ง (dry mass, m_{dry})

ภาพที่ 4.6
การระเหยน้ำออกจากวัสดุโดยใช้ตู้อบ



หมายเหตุ: ผลการทดลองโดยผู้วิจัย เมื่อวันที่ 5 ก.พ. 2549.

หลังจากทดลองหาค่าความพรุนของวัสดุทดสอบตามกระบวนการขั้นต้นแล้ว จึงนำค่าที่ได้ไปคำนวณหาค่าความพรุนตามสมการที่ 2.20 ได้ผลดังตารางที่ 4.8

ตารางที่ 4.8
ค่าความพรุนที่ได้จากการวัด

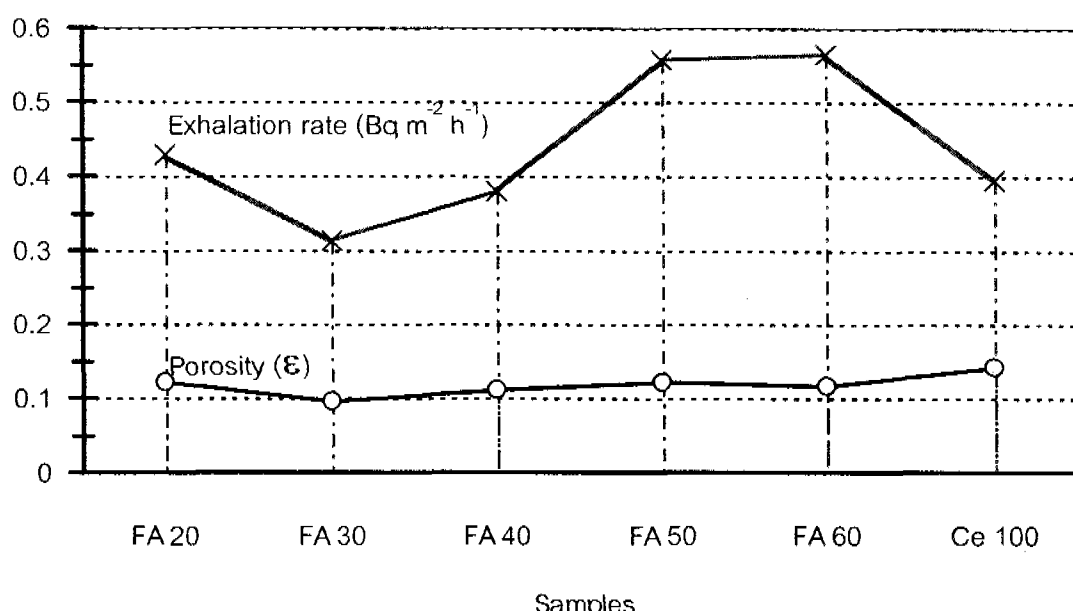
ลำดับ	วัสดุทดสอบ	น้ำหนักมวลเบี่ยง (kg)	น้ำหนักมวลแห้ง (kg)	ค่าความพรุน (ε)
1	FA 20	3.990	3.750	0.120
2	FA 30	4.130	3.940	0.095
3	FA 40	3.970	3.750	0.110
4	FA 50	4.090	3.850	0.120
5	FA 60	4.050	3.820	0.115
6	Ce 100	4.180	3.900	0.140

ความหนาแน่นของน้ำ (ρ_w) เท่ากับ 1000 kg m^{-3}

หมายเหตุ: ผลการทดลองโดยผู้วิจัย เมื่อวันที่ 5 ก.พ. 2549.

ภาพที่ 4.7

ความสัมพันธ์ระหว่างความพรุนกับขั้ตตราการปล่อยก๊าซເเจตอนของวัสดุทดสอบ



หมายเหตุ: ผลการทดลองโดยผู้วิจัย เมื่อวันที่ 5 ก.พ. 2549.

เมื่อพิจารณาจากตารางที่ 4.8 และภาพที่ 4.7 จะพบว่าอัตราการปล่อยก๊าซเรดอน กับ ความพรุนของวัสดุทดสอบมีความสัมพันธ์กันอย่างเห็นได้ชัด คือเมื่อวัสดุมีความพรุนมาก อัตราการ ปล่อยก๊าซเรดอนก็มีมากขึ้นด้วย จากเหตุผลดังกล่าวนี้ อาจสามารถอธิบายกรณีของวัสดุทดสอบ FA 20 ที่มีอัตราการปล่อยก๊าซเรดอนมากกว่าวัสดุทดสอบอื่นได้ กล่าวคือ ความพรุนของ FA 20 มี ค่าเท่ากับ 0.120 ซึ่งมากกว่า FA 30 และ FA 40 ซึ่งมีค่าความพรุนเท่ากับ 0.095 และ 0.110 ตามลำดับ ดังนั้นแทนที่จะมีอัตราการปล่อยก๊าซเรดอนน้อยกว่า กลับมีอัตราการปล่อยก๊าซเรดอน มากกว่า FA 30 และ FA 40 ในขณะที่ FA 50 ซึ่งมีค่าความพรุนเท่ากัน มีอัตราการปล่อยก๊าซ เรดอนมากกว่า FA 20

เห็นได้ชัดเจนว่า ปัจจัยตัวหนึ่งที่มีผลต่ออัตราการปล่อยก๊าซเรดอนจากวัสดุก่อสร้าง คือ ความพรุนของวัสดุ แต่อย่างไรก็ตาม ปริมาณการผสมเด้าลด้อยก็มีอิทธิพลต่ออัตราการปล่อยก๊าซ เรดอนจากวัสดุทดสอบเช่นกัน ดังเห็นได้จากตัวอย่าง FA 20 FA 50 และ FA 60 ที่ถึงแม้ FA 60 จะ มีความพรุนน้อยกว่า FA 20 และ FA 50 แต่ก็ยังมีอัตราการปล่อยก๊าซเรดอนมากกว่า

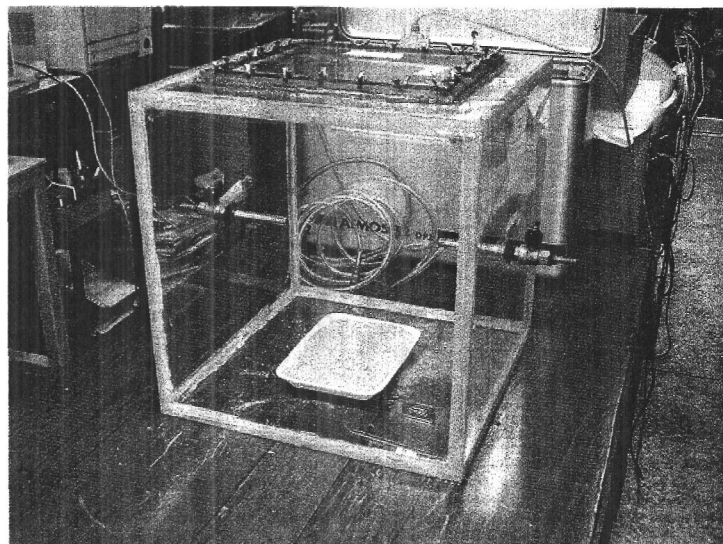
สำหรับในวัสดุทดสอบที่ผสมฟอสฟอยปัชمنัน เห็นได้อย่างชัดเจนแล้วว่า ปริมาณฟอล ฟอยปัชมมีอิทธิพลต่ออัตราการปล่อยก๊าซเรดอนจากวัสดุทดสอบอย่างมาก โดยอัตราการปล่อยก๊าซ เรดอนจากวัสดุทดสอบจะเพิ่มขึ้นตามปริมาณฟอสฟอยปัชมที่เพิ่มขึ้น ดังนั้นจึงไม่จำเป็นต้องทดสอบ ความพรุนของวัสดุ

2. ภาrvดอัตราการปล่อยก๊าซเรดอนโดยมวล

เพื่อเบริยบเทียบอัตราการปล่อยก๊าซเรดอนจากตัวแปรต้นของการทดลอง ซึ่งได้แก่ เถ้า loy พอสฟอยปัชม และปูนซีเมนต์ ซึ่งวัสดุเหล่านี้อยู่ในรูปของผงละเสียด ไม่มีรูปร่างที่แน่นอน ดังนั้นในการวัดอัตราการปล่อยก๊าซเรดอน จึงต้องวัดในหน่วยของมวล โดยมีวิธีการดังนี้

- 1) นำวัสดุทดสอบที่อยู่ในรูปของผงละเสียดมาซั่งน้ำหนัก โดยแบ่งให้มีน้ำหนักเท่า ๆ กันคือ 0.5 กิโลกรัม
- 2) นำวัสดุทดสอบที่ซั่งน้ำหนักแล้ว บรรจุไว้ในกล่องทดลอง แล้วปิดกล่องทดลองให้สนิท
- 3) นำกล่องทดลองที่ปิดสนิทแล้ว ไปทดสอบการร้าวซึมของอากาศ จากนั้นจึงทำการ ให้เลี้ยงอากาศภายในกล่องตามกระบวนการ (หัวข้อ 3.2.1)
- 4) นำกล่องทดลองไปตั้งไว้ในสภาวะที่กำหนด จนกว่าจะเข้าสู่สมดุลกับมั่นคงสี (ประมาณ 28 วัน)

ภาพที่ 4.8
การวัดอัตราการปล่อยก๊าซเรดอนโดยมวล



หมายเหตุ: บันทึกภาพที่สำนักงานป्रมาณเพื่อสันติ, 2549.

เมื่อครบกำหนดแล้ว จึงนำกล่องทดลองทั้งหมดไปตรวจวัดปริมาณก๊าซเรดอนด้วยเครื่องตรวจวัดก๊าซเรดอน ATMOS 12 dpx ได้ผลลัพธ์ดังตารางที่ 4.9

ตารางที่ 4.9
ผลการตรวจวัดปริมาณก๊าซเรดอนที่ปล่อยจากวัสดุทดสอบในรูปผงละอียด

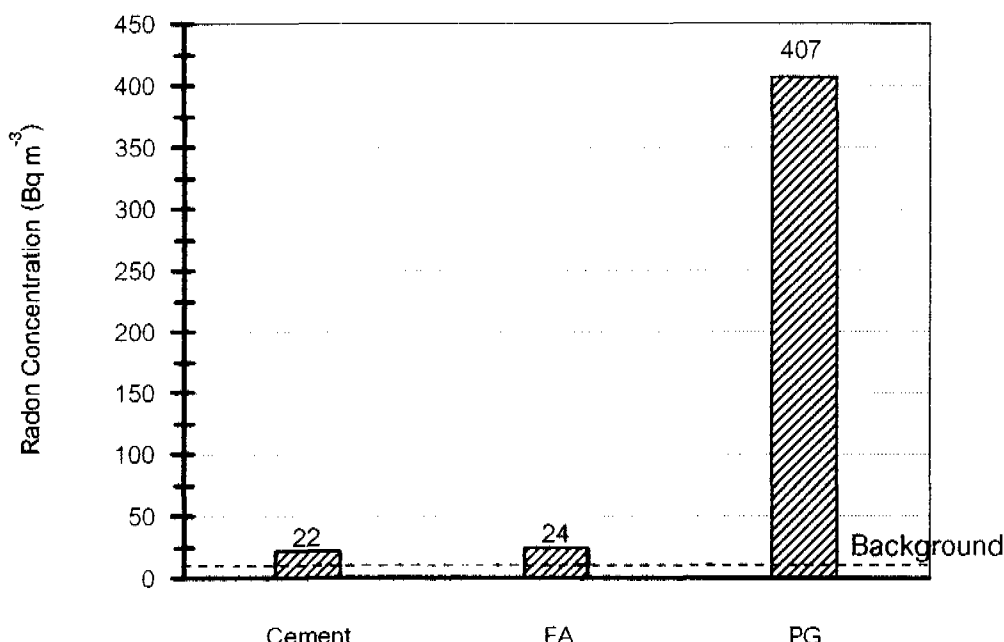
ลำดับ	วัสดุทดสอบ	ปริมาณคงรีต (kg)	ค่าเรดอนเฉลี่ย (Bq m ⁻³)
1	ปูนซีเมนต์	0.50	22 ± 12
2	ถ้าลอย	0.50	24 ± 10
3	ฟอสฟอยปัชม	0.50	407 ± 27
4	Background	0.50	10 ± 3

หมายเหตุ: ผลการทดลองโดยผู้วิจัย เมื่อวันที่ 20 ม.ค. 2549.

จากตารางที่ 4.9 เมื่อค่าเรดอนพื้นหลังมาลบออกจากค่าเฉลี่ย ก็จะได้ค่าความเข้มข้น ก๊าซเรดอนจริงที่ปล่อยออกมากจากวัสดุทดสอบ สามารถแสดงได้ดังภาพที่ 4.9

ภาพที่ 4.9

ความเข้มข้นก๊าซเรดอนโดยเฉลี่ยที่ปล่อยออกมาระหว่างวัสดุทดสอบในรูปของผลลัพธ์



หมายเหตุ: ผลการทดลองโดยผู้วิจัย เมื่อวันที่ 20 ม.ค. 2549.

เมื่อนำค่าเรดอนที่นั้นมาลบออกจากค่าเรดอนที่ตรวจวัดได้ ก็จะได้เป็นค่าเรดอนจริงที่ปล่อยออกมาระหว่างวัสดุทดสอบ ซึ่งสามารถนำไปคำนวนหาอัตราการปล่อยก๊าซเรดอนโดยมวลได้ตามสมการที่ 2.11 ได้ผลลัพธ์ดังตารางที่ 4.10

ตารางที่ 4.10

อัตราการปล่อยก๊าซเรดอนโดยมวลของวัสดุทดสอบในรูปของผลลัพธ์

วัสดุ	ค่าเรดอนเฉลี่ยจริง (C) (Bq m⁻³)	มวล (M) (kg)	λV	อัตราการปล่อยก๊าซเรดอน (Bq kg⁻¹ h⁻¹)
Cement	12 ± 9	0.500	4.45×10^{-4}	0.0106
FA	14 ± 7	0.500	4.45×10^{-4}	0.0124
PG	397 ± 24	0.500	4.45×10^{-4}	0.3535

เมื่อ ค่าคงที่การสลายตัวของเรดอน (λ) = 7.56×10^{-3} ต่อชั่วโมง

ปริมาตรของทดสอบ (V) = 0.0589 ลูกบาศก์เมตร

หมายเหตุ: ผลการทดลองโดยผู้วิจัย เมื่อวันที่ 20 ม.ค. 2549.

จากตารางที่ 4.10 จะพบว่าฟอสฟอยปัชมมีอัตราการปล่อยก๊าซเรดอนโดยมวลสูงที่สุด ซึ่งสูงกว่าปูนซีเมนต์ถึง 33 เท่า ดังนั้น เมื่อนำไปเป็นส่วนผสมในคอนกรีตแล้ว จึงมีผลทำให้ คอนกรีตนั้นมีอัตราการปล่อยก๊าซเรดอนสูงกว่าคอนกรีตทั่วไป ในขณะที่ผงถ้าลอยมีอัตราการ ปล่อยก๊าซเรดอนโดยมวลมากกว่าผงคอนกรีต 1.16 เท่า แต่เมื่อนำไปเป็นส่วนผสมในคอนกรีตแล้ว วัสดุนั้นกลับมีอัตราการปล่อยก๊าซเรดอนน้อยกว่าแผ่นคอนกรีตธรรมชาติทั่วไป แต่จะค่อย ๆ เพิ่มขึ้น เมื่อใช้ถ้าลอยเป็นส่วนผสมตั้งแต่ 40 เปอร์เซ็นต์ขึ้นไป ซึ่งเป็นไปได้ว่า การนำถ้าลอยไปเป็น ส่วนผสมของคอนกรีต เป็นการทำให้เสียปริมาณคอนกรีตไปส่วนหนึ่ง อีกทั้งถ้าลอยยังมีลักษณะ เป็นผงละเอียดกว่าคอนกรีต ดังนั้นจึงสามารถแทรกเข้าไปอุดรูพุ่นภายในเนื้อคอนกรีตได้ ทำให้ กีดขวางการแพร่ของก๊าซเรดอนสู่บริเวณภายนอก จนเมื่อเพิ่มปริมาณถ้าลอยถึงระดับหนึ่ง จึง จะมีอิทธิพลต่อการเพิ่มอัตราการปล่อยก๊าซเรดอนจากคอนกรีต

3. การวัดปริมาณเรเดียมในวัสดุทดสอบ

ถึงแม้ว่าการวัดอัตราการปล่อยก๊าซเรดอนของวัสดุ จะสามารถบ่งชี้ว่าวัสดุใดปล่อยก๊าซ เรดอนมากน้อยกว่ากัน แต่ไม่สามารถบ่งบอกถึงปริมาณเรเดียมซึ่งเป็นต้นกำเนิดก๊าซเรดอนภายใน วัสดุนั้น ๆ ได้ เมื่อจากอัตราการปล่อยก๊าซเรดอนจากวัสดุใด ๆ ย่อมมีเรเดียมปัจจัยหลายอย่าง เช่น ความพุ่น ดังที่ได้กล่าวในข้างต้น ดังนั้นเพื่อที่จะทราบถึงความสามารถในการผลิตก๊าซเรดอน ของวัสดุนั้น จึงจำเป็นต้องมีการตรวจวัดสารกัมมันตรังสีเรเดียมที่เจือปนอยู่ภายใน

วัสดุก่อสร้างทุกชนิดจะสามารถแผ่รังสีสู่周囲ชาติได้ 2 ทาง ทางแรกคือ การแผ่รังสี แกมมา ซึ่งจะมาจาก โพแทสเซียม - 40 (^{40}K) เรเดียม - 226 (^{226}Ra) และ thoเรียม - 232 (^{232}Th) ภายในวัสดุเป็นหลัก อีกทางหนึ่งคือ การปล่อยก๊าซเรดอนที่เกิดจากการผลิตตัวของเรเดียม เมื่อ มนุษย์หายใจรับก๊าซนี้เข้าสู่ร่างกาย ก็จะเกิดการแผ่รังสีภายในร่างกาย (internal exposure)

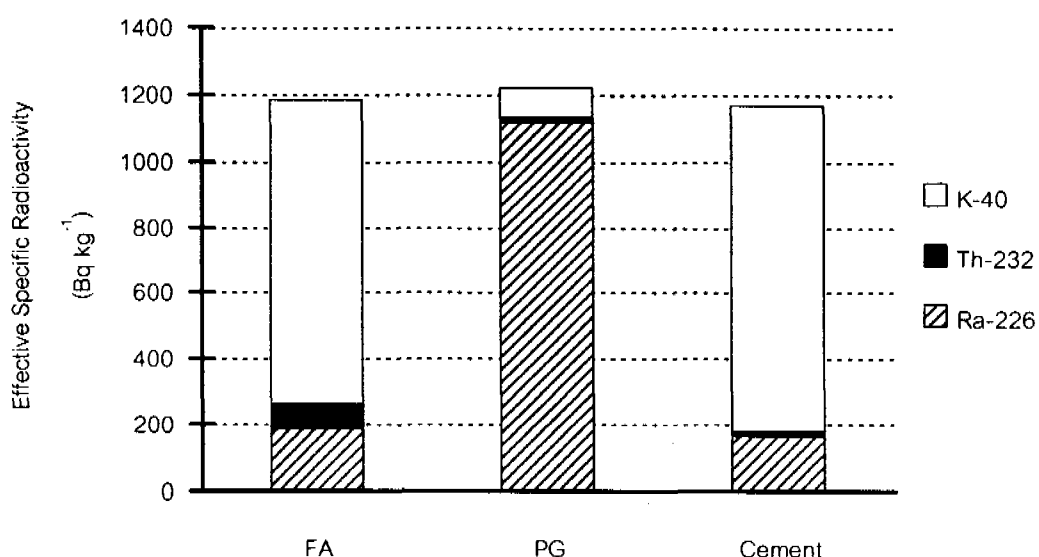
ในงานวิจัยนี้ ได้วัดสารกัมมันตรังสี โพแทสเซียม - 40 (^{40}K) เรเดียม - 226 (^{226}Ra) และ thoเรียม - 232 (^{232}Th) จากวัสดุทดสอบทั้ง 3 ชนิด คือ ปูนซีเมนต์ ถ้าลอยลิกไนต์ และฟอส ไฟยิปชัม ด้วยเครื่องตรวจวัดรังสีแกมมา (gamma spectrometer) ได้ผลดังตารางที่ 4.11

ตารางที่ 4.11
ผลการตรวจวัดสารกัมมันตรังสีเรเดียม ท่อเรียน และโพแทสเซียมในวัสดุทดสอบ

Effective Specific Radioactivity	Weight (g)	Net Integral (cts)	Intensity	Activity (Bq kg^{-1})	SD
Cement	Ra 226	249.82	1090	0.0351	164.92
	Th 232	249.82	271	0.2660	12.66
	K 40	249.82	983	0.1067	988.42
FA	Ra 226	259.16	1924	0.0351	183.71
	Th 232	259.16	1779	0.2660	80.13
	K 40	259.16	5620	0.1067	921.79
PG	Ra 226	201.64	9120	0.0351	1119.24
	Th 232	201.64	194	0.2660	11.23
	K 40	201.64	413	0.1067	87.06

หมายเหตุ: ผลการทดลองโดยผู้วิจัย เมื่อวันที่ 5 มี.ค. 2549.

ภาพที่ 4.10
ความเข้มข้นของกัมมันตภาพรังสีเรเดียม ท่อเรียน และโพแทสเซียมในวัสดุทดสอบ



หมายเหตุ: ผลการทดลองโดยผู้วิจัย เมื่อวันที่ 5 มี.ค. 2549.

ภาพที่ 4.10 แสดงกัมมันตภาพนิวเคลียร์กัมมันตรังสี ในปูนซีเมนต์ เถ้าloy และฟอสฟอ ยิปซัม จะพบว่าฟอสฟอยิปซัมมีปริมาณเรเดียมสูงถึง $1119.24 \text{ Bq kg}^{-1}$ มากกว่าปูนซีเมนต์ถึง 6 เท่า ส่วนในเถ้าloyพบว่ามีปริมาณเรเดียมอยู่ $183.71 \text{ Bq kg}^{-1}$ มากกว่าค่าอนกาวริตซึ่งมีปริมาณเรเดียมอยู่ $164.92 \text{ Bq kg}^{-1}$ ในทางกลับกันพบว่ามีปริมาณของโพแทสเซียมอยู่ในฟอสฟอยิปซัมน้อยที่สุด เพียง 9.26 Bq kg^{-1} ในขณะที่เถ้าloy และปูนซีเมนต์พบโพแทสเซียมในปริมาณที่ใกล้เคียงกันคือ $921.79 \text{ Bq kg}^{-1}$ และ $988.42 \text{ Bq kg}^{-1}$ ตามลำดับ สำหรับหอเรียนนั้น พบว่ามีปริมาณน้อยกว่า เรเดียม และโพแทสเซียมในทุกวัสดุ โดยพบในปูนซีเมนต์ เถ้าloy และฟอสฟอยิปซัม เป็นปริมาณ 12.66 Bq kg^{-1} 80.13 Bq kg^{-1} และ 11.23 Bq kg^{-1} ตามลำดับ

อย่างไรก็ตาม ในงานวิจัยนี้จะเน้นที่ปริมาณเรเดียมเป็นสำคัญ เนื่องจากเป็นแหล่งกำเนิดก้าวเรดอนในวัสดุก่อสร้าง ซึ่งจากการทดลองสามารถเรียงลำดับวัสดุทดสอบ ตามปริมาณเรเดียมที่ประปนอยู่จากมากไปน้อยได้คือ ฟอสฟอยิปซัม เถ้าloy และปูนซีเมนต์

4.2 การทดลองที่ 2 : การจำลองผลในอาคารกรณีศึกษาประเภทตึกแฝง

การทดลองที่ 2 เป็นการนำผลการวัดอัตราการปล่อยก้าวเรดอนที่ได้จากการทดลองที่ 1 มาจำลองในอาคารกรณีศึกษาประเภทตึกแฝง เพื่อศึกษาลักษณะการแพร่กระจายของก้าวเรดอน ภายในพื้นที่พักอาศัยในอาคารตึกแฝงที่มีการใช้วัสดุก่อสร้างประเภทคอนกรีตที่มีส่วนผสมของเถ้าloy และฟอสฟอยิปซัม นอกจากนี้ยังใช้ข้อมูลที่ได้จากการจำลองประเมินรังสีที่ผู้พักอาศัยจะได้รับ ในระยะเวลา 1 ปี ตลอดจนเสนอแนะแนวทางในการลดปริมาณก้าวเรดอนภายในอาคาร

วัสดุทดสอบที่เลือกมาใช้ในการจำลองในการทดลองที่ 2 มีอยู่ด้วยกัน 3 ตัวอย่าง ได้แก่ วัสดุประเภทคอนกรีตล้วน (CE 100) วัสดุประเภทคอนกรีตผสมเถ้าloy 50 เปอร์เซ็นต์ (FA 50) และวัสดุประเภทคอนกรีตผสมฟอสฟอยิปซัม 50 เปอร์เซ็นต์ (PG 50) สามารถนำเสนอผลและวิเคราะห์ผลการทดลองในกรณีต่าง ๆ ได้ดังต่อไปนี้

4.2.1 ผลการจำลองปริมาณก้าวเรดอนภายในอาคารประเภทตึกแฝง

จากการกำหนดตัวแปรต้น ที่มีอิทธิพลต่อบริมาณความเข้มข้นของก้าวเรดอนภายใน อาคารตึกแฝง ได้แก่ ปริมาณการผสมเถ้าloy หรือฟอสฟอยิปซัม การกันผนังภายใน และอัตราการระบายอากาศ ทำให้สามารถแบ่งการศึกษาออกได้เป็นกรณีต่าง ๆ ดังนี้

1. การจำลองปริมาณกําชีชเรดอนภายในอาคารตึกແຕງ : กรณีที่ไม่มีการกันผงงายใน
2. การจำลองปริมาณกําชีชเรดอนภายในอาคารตึกແຕງ : กรณีที่มีการกันผงงายใน
3. การจำลองปริมาณกําชีชเรดอนภายในอาคารตึกແຕງ : กรณีที่ลดระดับการกันผงงายใน

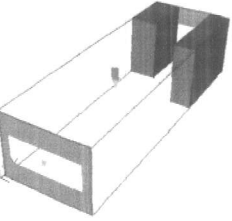
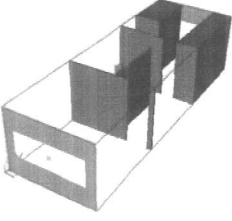
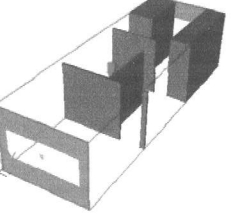
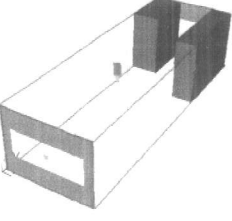
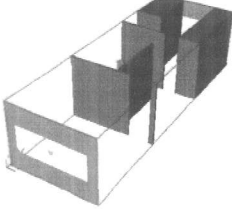
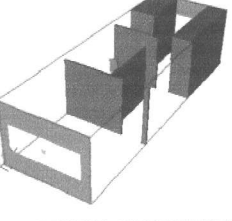
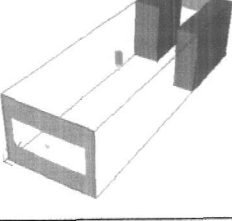
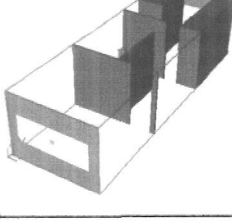
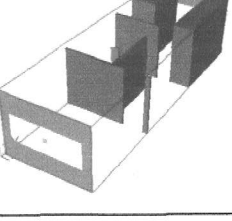
ซึ่งในทุกกรณีจะแบ่งการศึกษาการระบายอากาศออกเป็น 3 ระดับ ได้แก่

1. ระดับต่ำสุด หรือระดับที่ยอมให้ตามมาตรฐานการระบายอากาศ คือ 0.35 ต่อชั่วโมง
2. ระดับปรับปูงที่ 1 เมื่อติดตั้งพัดลมดูดอากาศขนาด 60 CFM คือ 0.70 ต่อชั่วโมง
3. ระดับปรับปูงที่ 2 เมื่อติดตั้งพัดลมดูดอากาศขนาด 90 CFM คือ 1.05 ต่อชั่วโมง

ดังนั้น ในแต่ละกรณีของการใช้วัสดุทดสอบ จึงสามารถแบ่งกรณีศึกษาได้ 9 แบบ ดังภาพที่ 4.11 รวมทั้งสิ้น 27 แบบจำลอง โดยในทุกกรณีสมมติให้การไหลของอากาศภายในห้อง เป็นแบบลามินา (laminar airflow)

ภาพที่ 4.11

แบบจำลองการเผยแพร่กระจายกําชีชเรดอนของอาคารตึกແຕງ ในแต่ละวัสดุทดสอบ

	ไม่กันผงงายใน	กันผงงายใน	ลดระดับการกันผงงายใน
อัตราการ流速 (ต่อชั่วโมง)	0.35	0.70	1.05
			
			
			

หมายเหตุ: จากการออกแบบบิจัย, 2549.

1. ผลการจำลองปริมาณก๊าซเรดอนภายในอาคารตึกแฝง : กรณีที่ไม่มีการกันผนังภายใน

การจำลองการเผยแพร่กระจายก๊าซเรดอนภายในอาคารตึกแฝง กรณีที่ไม่มีการกันผนังภายใน มีทั้งสิ้น 9 กรณี โดยค่าต่าง ๆ ที่จำเป็นในการจำลอง และผลความเข้มข้นโดยเฉลี่ยที่ได้จากการจำลอง สามารถแสดงได้ดังตารางที่ 4.12

ตารางที่ 4.12

ผลการจำลองการเผยแพร่กระจายก๊าซเรดอนภายในอาคารตึกแฝง

กรณีที่ไม่มีผนังกันภายใน

	Source Material	Area (m^2)	Exhalation rate ($Bq m^{-2} s^{-1}$)	Flow rate ($m^3 s^{-1}$)	Simulate ($Bq m^{-3}$)	Estimate ($Bq m^{-3}$)
Air change per hour	0.35	CE 100	1.12×10^{-4}	0.014	1.022	1.141
		FA 50	1.52×10^{-4}	0.014	1.387	1.548
		PG 50	2.40×10^{-3}	0.014	21.900	21.450
	0.70	CE 100	1.12×10^{-4}	0.028	0.588	0.576
		FA 50	1.52×10^{-4}	0.028	0.798	0.782
		PG 50	2.40×10^{-3}	0.028	12.590	12.350
	1.05	CE 100	1.12×10^{-4}	0.042	0.371	0.385
		FA 50	1.52×10^{-4}	0.042	0.503	0.523
		PG 50	2.40×10^{-3}	0.042	7.945	8.260

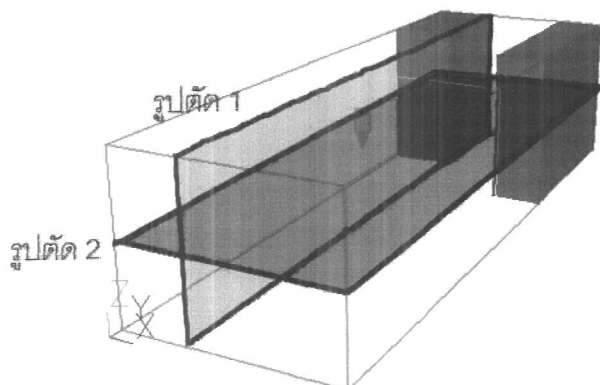
จากตารางที่ 4.12 จะพบว่าค่าที่จำลองโดยโปรแกรมคอมพิวเตอร์ (simulate value) มีความใกล้เคียงกับค่าที่ได้จากการคำนวณ (calculate value) ค่อนข้างมาก แสดงว่าผลที่ได้จากการจำลองมีความถูกต้องค่อนข้างมาก ซึ่งสามารถนำมาอธิบายการกระจายของก๊าซเรดอนได้ดังหัวข้อต่อไปนี้

1) กรณีที่มีการระบายอากาศต่ำที่สุด (0.35 ACH)

ผลการทดสอบแบบจำลองของอาคารศึกษาและที่กำหนดค่าอัตราการปล่อยก๊าซเรดอนจากวัสดุทดสอบทั้ง 3 ตัวอย่าง ได้แก่ CE 100 FA 50 และ PG 50 โดยกำหนดอัตราการระบายอากาศให้มีค่าเท่ากับ 0.35 ต่อชั่วโมง ตามการทดสอบที่ตั้งมาที่ 4.12

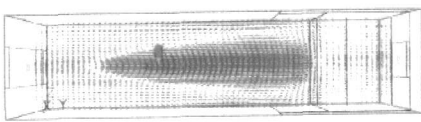
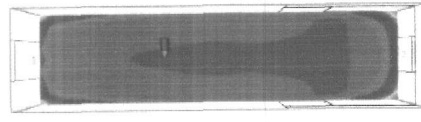
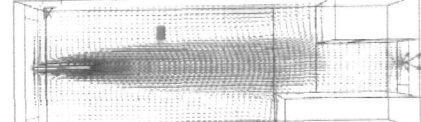
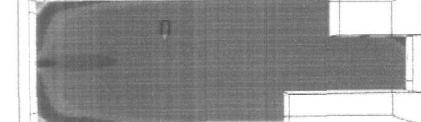
ภาพที่ 4.12

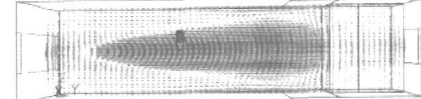
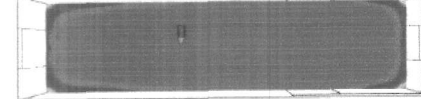
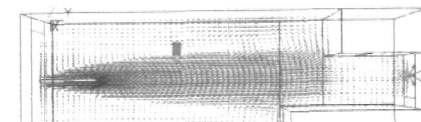
ระดับความเข้มข้นเฉลี่ยก๊าซเรดอนภายในอาคารตึกແ姣 กรณีไม่มีการกันผึ้งภายใน
เมื่ออัตราการระบายอากาศเท่ากับ 0.35 ต่อชั่วโมง



รัศมีทดสอบ : CE 100		Rn (Bq m ⁻³)
	แนวการไหลของอากาศ	ระดับความเข้มข้นก๊าซเรดอน
รูปตัด 1		4.00E+00 3.747E+00 3.493E+00 3.240E+00 2.987E+00 2.733E+00 2.480E+00 2.227E+00 1.973E+00 1.720E+00 1.467E+00 1.213E+00 9.600E-01 7.067E-01 4.533E-01 2.000E-01
รูปตัด 2		
ค่าเฉลี่ย ณ ระดับ 1.5 เมตรจากพื้น	1.022	Bq m ⁻³
ค่าที่วัดได้ ณ จุดวัด	0.934	

ภาพที่ 4.12 (ต่อ)

วัสดุทดสอบ : FA 50		Rn (Bq m ⁻³)
	แนวการไหลของอากาศ	ระดับความเข้มข้นก๊าซเรดอน
รูปที่ 1		
รูปที่ 2		
ค่าเฉลี่ย ณ ระดับ 1.5 เมตรจากพื้น	1.387	Bq m ⁻³
ค่าที่วัดได้ ณ จุดวัด	1.261	

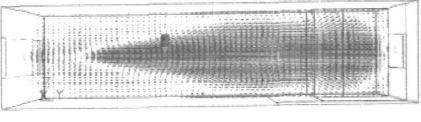
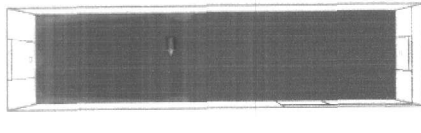
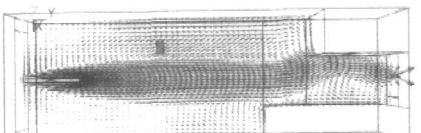
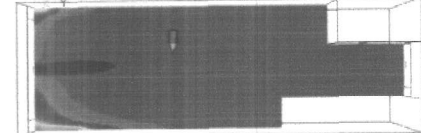
วัสดุทดสอบ : PG 50		Rn (Bq m ⁻³)
	แนวการไหลของอากาศ	ระดับความเข้มข้นก๊าซเรดอน
รูปที่ 1		
รูปที่ 2		
ค่าเฉลี่ย ณ ระดับ 1.5 เมตรจากพื้น	21.90	Bq m ⁻³
ค่าที่วัดได้ ณ จุดวัด	19.91	

จากภาพที่ 4.12 แบ่งระบบการพิจารณาออกเป็น 2 ระบบตามแนวalityของห้อง ซึ่งจะพบว่าลักษณะการไหลของอากาศในแบบจำลองทั้ง 3 แบบ มีลักษณะใกล้เคียงกัน โดยกระแสลมภายในห้องเกิดจากการแลกเปลี่ยนอากาศ ที่ก้านหน้าไว้ในอัตรา 0.35 ต่อชั่วโมง ทำให้ภายในห้องมีความเร็วลดโดยเฉลี่ย 0.025 เมตรต่อวินาที ซึ่งความเร็วในระดับดังกล่าวมุขย์ไม่อาจสังเกตได้ แต่อาจรู้สึกอึดอัด หรือไม่สบายตัว และเมื่อพิจารณาการไหลของอากาศจะพบว่า จะเกิดกระแสลมที่เข้าบีบก้านหน้าห้องน้ำ และโถมน้ำ จึงทำให้มีเกิดการสะสมของก๊าซเรดอนในบริเวณดังกล่าว หรือบริเวณใกล้เคียง แต่กลับพบการสะสมของก๊าซเรดอนค่อนข้างมากในบริเวณมุมของห้อง ใกล้กับช่องเปิดทั้งสองด้าน ที่ในกรณีของฟอร์ฟอยปีกัม (PG 50) นั้น พนักงานประเมินการสะสมก๊าซเรดอนอยู่ที่บริเวณมุมห้องทั้งสองด้านประมาณ $30 - 60 \text{ Bq m}^{-3}$ ในขณะที่ค่าเฉลี่ยของห้องทั้งห้องอยู่ที่ 21.90 Bq m^{-3}

2) กรณีที่ติดตั้งพัดลมระบบอากาศขนาด 60 CFM (0.70 ACH)

ภาพที่ 4.13

ระดับความเข้มข้นเฉลี่ยก๊าซเรดอนภายในอาคารตึกแฝด กรณีไม่มีการกันลมภายใน เมื่ออัตราการระบายอากาศเท่ากับ 0.70 ต่อชั่วโมง

วัสดุทดสอบ : CE 100		Rn (Bq m^{-3})
	แนวการไหลของอากาศ	ระดับความเข้มข้นก๊าซเรดอน
ประตู 1		
ประตู 2		
ค่าเฉลี่ย ณ ระดับ 1.5 เมตรจากพื้น		0.588
ค่าที่วัดได้ ณ จุดวัด		0.507

ภาพที่ 4.13 (ต่อ)

วัสดุทดสอบ : FA 50		Rn (Bq m ⁻³)
	แนวการไหลของอากาศ	ระดับความเข้มข้นก๊าซเรเดอน
รูปที่ 1		
รูปที่ 2		
ค่าเฉลี่ย ณ ระดับ 1.5 เมตรจากพื้น	0.798	Bq m ⁻³
ค่าที่วัดได้ ณ จุดวัด	0.680	

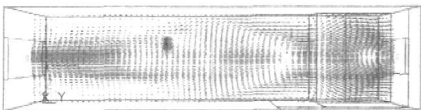
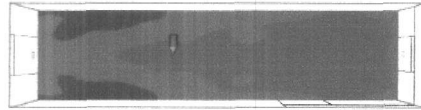
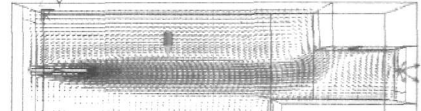
วัสดุทดสอบ : PG 50		Rn (Bq m ⁻³)
	แนวการไหลของอากาศ	ระดับความเข้มข้นก๊าซเรเดอน
รูปที่ 1		
รูปที่ 2		
ค่าเฉลี่ย ณ ระดับ 1.5 เมตรจากพื้น	12.59	Bq m ⁻³
ค่าที่วัดได้ ณ จุดวัด	10.86	

ภาพที่ 4.13 เมื่อเพิ่มอัตราการระบายอากาศเป็น 0.70 ต่อชั่วโมง หรือ 2 เท่าของระดับระบายอากาศต่ำสุด โดยการติดตั้งพัดลมระบบอากาศขนาด 60 CFM เข้าไปที่ปลายห้อง พบว่า ในพื้นที่ส่วนในญี่ปุ่นของห้อง ลมจะเคลื่อนที่ด้วยความเร็วประมาณ 0.08 – 0.12 เมตรต่อวินาที และเกิดการวนของอากาศขึ้นบริเวณกลางห้องจนเงื่อนท้ายห้อง ทำให้มีการสะสมของก๊าซเรดอนน้อยมาก ในทางกลับกัน พบว่าบริเวณมุมห้องใกล้กับทิศทางลมเข้า มีลักษณะเป็นพื้นที่อับลม ทำให้เกิดการสะสมของก๊าซเรดอนได้ค่อนข้างมากในบริเวณนั้น อย่างไรก็ตาม เมื่อพิจารณาความเข้มข้นก๊าซเรดอนโดยเฉลี่ยของทั้งห้อง พบว่าลดลงจากเดิมที่ไม่มีการติดตั้งพัดลมระบบอากาศประมาณ 1.73 เท่า ในทุกกรณี

3) กรณีที่ติดตั้งพัดลมระบบอากาศขนาด 90 CFM (1.05 ACH)

ภาพที่ 4.14

ระดับความเข้มข้นเฉลี่ยก๊าซเรดอนภายในอาคารตึกแฝด กรณีไม่มีการกันผังภายนอกในเมื่ออัตราการระบายอากาศเท่ากับ 1.05 ต่อชั่วโมง

	วัสดุทดสอบ : CE 100		Rn (Bq m ⁻³)
	แนวการไหลของอากาศ	ระดับความเข้มข้นก๊าซเรดอน	
รูปที่ 1			1.250E+00 1.170E+00 1.089E+00 1.009E+00 9.207E-01 8.403E-01 7.600E-01 6.877E-01 6.073E-01 5.270E-01 4.467E-01 3.663E-01 2.860E-01 2.057E-01 1.253E-01 4.500E-02
รูปที่ 2			
ค่าเฉลี่ย ณ ระดับ 1.5 เมตรจากพื้น		0.371	Bq m ⁻³
ค่าที่วัดได้ ณ จุดวัด		0.336	

ภาพที่ 4.14 (ต่อ)

วัสดุทดสอบ : FA 50			Rn (Bq m ⁻³)
	แนวการ์โนลของอากาศ	ระดับความเข้มข้นก๊าซเรดอน	
รูปที่ 1			1.500E+00 1.402E+00 1.304E+00 1.206E+00 1.108E+00 1.010E+00 9.120E-01 8.140E-01 7.160E-01 6.180E-01 5.200E-01 4.220E-01 3.240E-01 2.260E-01 1.280E-01 3.000E-02
รูปที่ 2			
ค่าเฉลี่ย ณ ระดับ 1.5 เมตรจากพื้น		0.503	Bq m ⁻³
ค่าที่วัดได้ ณ จุดวัด		0.450	

วัสดุทดสอบ : PG 50			Rn (Bq m ⁻³)
	แนวการ์โนลของอากาศ	ระดับความเข้มข้นก๊าซเรดอน	
รูปที่ 1			2.200E+01 2.060E+01 1.920E+01 1.780E+01 1.640E+01 1.500E+01 1.360E+01 1.220E+01 1.080E+01 9.400E+00 8.000E+00 6.600E+00 5.200E+00 3.800E+00 2.400E+00 1.000E+00
รูปที่ 2			
ค่าเฉลี่ย ณ ระดับ 1.5 เมตรจากพื้น		7.945	Bq m ⁻³
ค่าที่วัดได้ ณ จุดวัด		7.374	

ภาพที่ 4.14 แสดงผลการจำลองการกระจายก๊าซเรดอนภายในห้องตึกแคร์ เมื่อเพิ่มอัตราการระบายอากาศเป็น 1.05 ต่อชั่วโมง หรือ 3 เท่า ของอัตราการระบายอากาศต่ำสุด โดยการติดตั้งพัดลมดูดอากาศขนาด 90 CFM เข้าไปที่ช่องทางลมออก พบว่าในทุกกรณีสามารถลดความเข้มข้นก๊าซเรดอนโดยเฉลี่ยลงได้ประมาณ 2.75 เท่า ของความเข้มข้นเฉลี่ยเดิม เมื่ออัตราการระบายอากาศต่ำสุด แต่ในขณะเดียวกันก็พบว่าพื้นที่อันลมก้มีขนาดเพิ่มขึ้นด้วย ทำให้เกิดการสะสมของก๊าซเรดอนในบริเวณดังกล่าวได้มาก

2. ผลการจำลองปริมาณก๊าซเรดอนภายในอาคารตึกแคร์ กรณีที่มีการกันผังภายใน

การจำลองการเผยแพร่กระจายก๊าซเรดอนภายในอาคารตึกแคร์ กรณีที่ไม่มีการกันผังภายใน ในมีทั้งสิ้น 9 กรณี โดยค่าต่าง ๆ ที่จำเป็นในการจำลอง และผลความเข้มข้นโดยเฉลี่ยที่ได้จากการจำลอง สามารถแสดงได้ดังตารางที่ 4.13

ตารางที่ 4.13

ผลการจำลองการเผยแพร่กระจายก๊าซเรดอนภายในอาคารตึกแคร์ กรณีที่มีผังกันภายใน

	Source Material	Area (m^2)	Exhalation rate ($Bq m^{-2} s^{-1}$)	Flow rate ($m^3 s^{-1}$)	Simulate ($Bq m^{-3}$)	Estimate ($Bq m^{-3}$)
0.35	CE 100	145.72	1.12×10^{-4}	0.014	5.827	1.141
	FA 50	145.72	1.52×10^{-4}	0.014	7.902	1.548
	PG 50	145.72	2.40×10^{-3}	0.014	124.900	21.450
0.70	CE 100	145.72	1.12×10^{-4}	0.028	1.079	0.576
	FA 50	145.72	1.52×10^{-4}	0.028	1.465	0.782
	PG 50	145.72	2.40×10^{-3}	0.028	23.120	12.350
1.05	CE 100	145.72	1.12×10^{-4}	0.042	0.330	0.385
	FA 50	145.72	1.52×10^{-4}	0.042	0.448	0.523
	PG 50	145.72	2.40×10^{-3}	0.042	7.075	8.260

จากตารางที่ 4.13 จะพบว่าค่าความเข้มข้นก๊าซเรดอนเฉลี่ย ที่ได้จากการจำลองด้วยโปรแกรมคอมพิวเตอร์นั้น ไม่เท่ากับค่าที่ได้จากการคำนวณ ทั้งนี้เนื่องจากว่า สมการที่ใช้ในการคำนวณนั้น ใช้ส่วนรับแบบจำลองที่ไม่ขับข้อน เชน ห้องที่ไม่มีการกันผนังภายใน ดังนั้นจึงไม่สามารถใช้การคำนวณด้วยสมการตรวจสอบความนำเรื่อของผลการจำลองได้ในกรณีนี้ แต่จะใช้การพิจารณาจากกราฟความคลาดเคลื่อน และ output file แทน

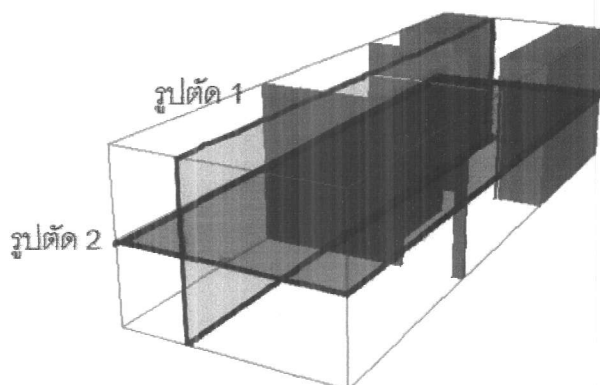
ผลการจำลองการแพร์กสะจายของก๊าซเรดอนภายในอาคารตึกแถว กรณีที่มีการกันผนังภายใน ด้วยโปรแกรมคำนวณพลศาสตร์ของในล จะพิจารณาใน 2 ระบบเช่นเดียวกับกรณีที่ไม่มีผนังกันภายใน โดยสามารถแสดงรายละเอียดได้ดังหัวข้อต่อไปนี้

1) กรณีที่มีการระบายน้ำอากาศต่ำที่สุด (0.35 ACH)

ผลการจำลองการแพร์กสะจายก๊าซเรดอน ในอาคารตึกแถวที่มีการกันผนังภายใน เมื่อสร้างด้วยวัสดุทดสอบ 3 ตัวอย่าง ได้แก่ CE 100 FA 50 และ PG 50 โดยสามารถแสดงได้ดังภาพที่ 4.15

ภาพที่ 4.15

ระดับความเข้มข้นเฉลี่ยก๊าซเรดอนภายในอาคารตึกแถว กรณีที่มีการกันผนังภายใน เมื่อคัดรากระบายน้ำอากาศเท่ากับ 0.35 ต่อชั่วโมง



ภาพที่ 4.15 (ต่อ)

วัสดุทดสอบ : CE 100		Rn (Bq m ⁻³)
	แนวการให้ผลของอากาศ	ระดับความเข้มข้นก๊าซเรดอน
ประตู 1		
ประตู 2		
ค่าเฉลี่ย ณ ระดับ 1.5 เมตรจากพื้น		5.827
ค่าที่วัดได้ ณ จุดวัด		30.24

วัสดุทดสอบ : FA 50		Rn (Bq m ⁻³)
	แนวการให้ผลของอากาศ	ระดับความเข้มข้นก๊าซเรดอน
ประตู 1		
ประตู 2		
ค่าเฉลี่ย ณ ระดับ 1.5 เมตรจากพื้น		7.902
ค่าที่วัดได้ ณ จุดวัด		40.47